

SOBRE EL UMBRAL  $F$ -PURO DEL IDEAL  
HOMOGÉNEO MÁXIMO DE UN ANILLO DE  
STANLEY-REISNER

ON THE  $F$ -PURE THRESHOLD OF THE  
HOMOGENEOUS MAXIMAL IDEAL OF A  
STANLEY-REISNER RING

WÁGNER BADILLA-CÉSPEDES<sup>1</sup>

*Received: 03/Ago/2023; Accepted: 16/May/2024*

---

*Revista de Matemática: Teoría y Aplicaciones* is licensed under a Creative Commons  
Reconocimiento-NoComercial-Compartirigual 4.0 International License.  
Creado a partir de la obra en <http://www.revistas.ucr.ac.cr/index.php/matematica>



---

<sup>1</sup> Universidad Nacional Autónoma de México, Centro de Ciencias Matemáticas,  
Morelia, México. E-Mail: [wagner@matmor.unam.mx](mailto:wagner@matmor.unam.mx)

### Resumen

En característica prima, el umbral  $F$ -puro es un invariante numérico que mide singularidades. Se conocen pocas estimaciones de este número. En esta nota, calculamos explícitamente el umbral  $F$ -puro del ideal homogéneo máximo en un anillo de Stanley-Reisner y demostramos que este número y la dimensión de escisión son iguales.

**Palabras clave:** umbral  $F$ -puro; anillos de Stanley–Reisner; anillos de característica prima.

### Abstract

In prime characteristic, the  $F$ -pure threshold is a numerical invariant measuring singularities. Few estimates of this number are known. In this note, we explicitly compute the  $F$ -pure threshold of the homogeneous maximal ideal in a Stanley-Reisner ring and prove that this number and the splitting dimension are same.

**Keywords:**  $F$ -pure threshold; Stanley-Reisner rings; prime characteristic rings.

**Mathematics Subject Classification:** Primary: 13A35, 13F55; Secondary: 14B05.

## 1. INTRODUCCIÓN

Iniciamos haciendo algunos comentarios sobre invariantes geométricos que tienen conexión con invariantes en característica prima. Cuando estamos en característica cero, el umbral log canónico  $\text{lct}(f)$  de un polinomio  $f$  con coeficientes en un campo, es un importante invariante en geometría birracional [3]. Desde un punto de vista analítico, consideremos  $f \in \mathbb{C}[x_1, \dots, x_n]$  con  $f(0) = 0$  y singularidad en cero. Tenemos la función

$$\begin{aligned} \frac{1}{|f|} : \mathbb{C}^n \setminus V(f) &\longrightarrow \mathbb{R}, \\ z &\longrightarrow \frac{1}{|f(z)|}. \end{aligned}$$

El umbral log canónico de  $f$  es definido como

$$\text{lct}(f) = \sup \left\{ \lambda \in \mathbb{R}_{>0} \mid \text{existe un } \varepsilon > 0 \text{ tal que } \int_{B_\varepsilon(0)} \frac{1}{|f(z)|^{2\lambda}} < \infty \right\}.$$

Resulta que  $\text{lct}(f) = \sup\{\lambda \in \mathbb{R}_{>0} \mid \mathcal{J}(f^\lambda) = (1)\}$ , donde  $\mathcal{J}(f^\lambda)$  es el ideal multiplicador de  $f$  con exponente  $\lambda$ . Por lo tanto,  $\text{lct}(f)$  es el primer número de salto de  $f$  y es un número racional. Este número mide una singularidad de  $f$  alrededor de cero; es decir, estos invariantes miden la agudeza de una curva en el punto 0. Por ejemplo, los umbrales log canónicos de las curvas de la Figura 1 son  $1$ ,  $\frac{5}{6}$  y  $\frac{11}{18}$ , respectivamente.

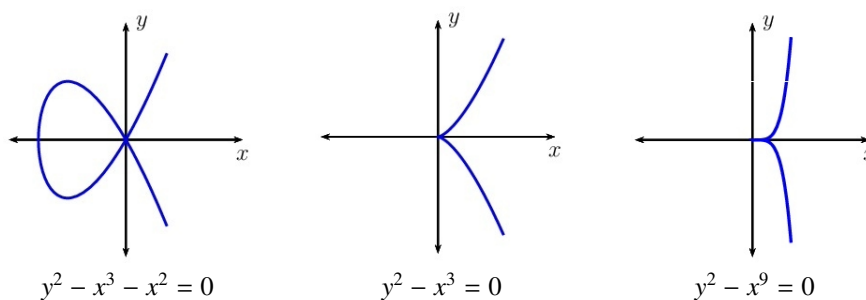


Figura 1: Curvas.

En característica positiva, el umbral  $F$ -puro de un ideal  $\mathfrak{a} \subseteq R$ , denotado por  $\text{fpt}(\mathfrak{a})$ , fue definido por Takagi y Watanabe [21]. Este está estrechamente relacionado con las teorías de  $F$ -puridad y clausura hermética [7, 11, 12]. Específicamente, este invariante mide el orden de escisión de  $\mathfrak{a}$ . El umbral  $F$ -puro es definido como

$$\lim_{e \rightarrow \infty} \frac{\max\{t \in \mathbb{N} \mid \mathfrak{a}^t \not\subseteq I_e(R)\}}{p^e}.$$

Aquí  $I_e(R)$  denota el ideal de escisión de  $R$ . El umbral  $F$ -puro es considerado el análogo al umbral log canónico; ellos comparten propiedades similares [18, 21]. En particular, si  $f$  es un elemento en  $\mathbb{Z}[x_1, \dots, x_n]$ , entonces el umbral  $F$ -puro y el umbral log canónico pueden ser comparados como sigue:  $\lim_{p \rightarrow \infty} \text{fpt}(f \bmod p) = \text{lct}(f)$  [7, 18].

Una línea reciente de investigación consiste en entender bajo cuáles condiciones el conjunto de los umbrales  $F$ -puros es un subconjunto de los números racionales. Este hecho fue probado por Blickle, Mustařa y Smith [4] para un anillo regular  $F$ -finito. Sin embargo, es bien sabido por la comunidad que calcular los umbrales  $F$ -puros es una tarea difícil en general y pocos ejemplos de cálculos explícitos son conocidos. Entre algunos de ellos están los siguientes casos:

- En una gran clase de ideales binomiales, como los ideales binomiales que son una intersección completa y los ideales que definen el espacio de curvas monomiales, los umbrales  $F$ -puros son calculados mediante programación lineal [19].
- En hipersuperficies binomiales sobre un campo de característica prima [8].
- En un polinomio cuyo soporte satisface cierta condición de no degeneración [9].
- En polinomios cuasi-homogéneos [17].
- En polinomios tipo Thom-Sebastiani [6].

- En un polinomio homogéneo reducido de grado  $d$ , su umbral  $F$ -puro es al menos  $\frac{1}{d-1}$  [15].

Además, fue hace tan solo unos pocos años que apareció la primera rutina computacional para calcular algunos ejemplos [10].

En este trabajo, nos concentramos en anillos de Stanley-Reisner. La construcción del anillo de Stanley-Reisner es una herramienta básica de mucho estudio en el álgebra conmutativa combinatoria y la combinatoria algebraica. La naturaleza combinatoria de estos anillos ha sido útil para estudiar sus estructuras en característica positiva. En este manuscrito, calculamos el umbral  $F$ -puro del ideal homogéneo máximo de un anillo de Stanley-Reisner.

**Teorema A** (ver el Teorema 2). *Sea  $R$  un anillo de Stanley-Reisner con ideal homogéneo máximo  $\mathfrak{m}$ . Entonces el umbral  $F$ -puro de  $\mathfrak{m}$  es igual a la dimensión de escisión de  $R$ .*

Para obtener el Teorema A, calculamos el primo de escisión de  $R$  y probamos que es igual a la suma de sus primos mínimos. Entonces, el problema es reducido al caso del anillo de los polinomios por tomar un cociente entre el primo de escisión.

**Notación 1.** *En este trabajo asumimos que todos los anillos son conmutativos, noetherianos, con identidad multiplicativa 1 y de característica prima  $p$ .*

## 2. PRELIMINARES

En esta sección repasamos conceptos y propiedades que son necesarias en nuestro estudio de anillos en característica prima. Omitimos detalles y referimos al lector interesado al libro de Huneke [13]. A través de esta sección,  $R$  denota un anillo de característica prima  $p$ .

### 2.1. Morfismo de Frobenius.

Dado un anillo  $R$ , el morfismo de Frobenius es el mapeo  $F : R \rightarrow R$  dada por  $F(r) = r^p$  para  $r \in R$ . El morfismo de Frobenius es un homomorfismo de anillos. Para un entero no negativo  $e$ , podemos considerar la función iterada de Frobenius  $F^e : R \rightarrow R$  dada por  $F^e(r) = r^{p^e}$  para  $r \in R$ . De esta manera,  $R$  tiene una estructura de  $R$ -módulo por restricción de escalares vía  $F^e$ . Equivalentemente,  $R$  es un  $R^{p^e}$ -módulo, con  $R^{p^e} = F^e(R)$ .

Supongamos que  $R$  es reducido. El conjunto  $R^{1/p^e} = \{r^{1/p^e} \mid r \in R\}$  es el anillo de las raíces  $p^e$ -ésimas de los elementos de  $R$ . Nuevamente,  $R^{1/p^e}$  es un anillo abstractamente isomorfo a  $R$  vía la función  $R^{1/p^e} \rightarrow R$ , la cual envía  $r \rightarrow r^{p^e}$ . En particular, el mapeo  $F^e$  puede ser identificado con la inclusión de  $R$ -módulos  $R \subseteq R^{1/p^e}$ . Por lo tanto, existe un isomorfismo de  $R$ -módulos entre  $R^{1/p^e}$  y  $R$  visto

como  $R$ -módulo a través de  $F^e$ . En lo que resta de este manuscrito trabajamos con anillos reducidos.

Consideremos ahora  $I \subseteq R$  un ideal, denotamos la extensión de  $I$  a través de  $F^e$  por  $I^{[p^e]}$ . El ideal  $I^{[p^e]}$  es llamado la *potencia de Frobenius* de  $I$ . Si  $I = (r_1, \dots, r_s)$ , entonces  $I^{[p^e]} = (r_1^{p^e}, \dots, r_s^{p^e})$ . Además, notamos que  $IR^{1/p^e} = (I^{[p^e]})^{1/p^e}$ .

El mapeo de Frobenius es una poderosa herramienta en el estudio de singularidades en característica prima, debido a que Kunz muestra que los anillos regulares son aquellos donde  $F^e$  es un homomorfismo de anillos fielmente plano [16]. A partir de esta función podemos definir clases de singularidades como la  $F$ -finitud y la  $F$ -puridad.

**Definición 1.** *El anillo  $R$  es llamado  $F$ -finito si el morfismo de Frobenius  $F^e$  es finito para algún (para todo) entero  $e \geq 1$ . Equivalentemente,  $R^{1/p^e}$  es un  $R$ -módulo finitamente generado para algún (para todo) entero  $e \geq 1$ .*

Muchos de los anillos encontrados en geometría algebraica son  $F$ -finitos.

**Observación 1.** *Sea  $R$  un anillo  $F$ -finito. Entonces, las siguientes proposiciones son verdaderas:*

- (1) *Toda imagen homomórfica de  $R$  es  $F$ -finita.*
- (2) *Dado un ideal  $I$  en  $R$ , tenemos que  $R/I$  es  $F$ -finito.*
- (3) *El anillo de polinomios  $R[x_1, \dots, x_n]$  es  $F$ -finito.*
- (4) *El anillo de series de potencia  $R[[x_1, \dots, x_n]]$  es  $F$ -finito.*
- (5) *Toda  $R$ -álgebra finitamente generada es  $F$ -finita.*
- (6) *Si  $W$  es un sistema multiplicativo en  $R$ , entonces  $W^{-1}R$  es también un anillo  $F$ -finito.*
- (7) *Si  $R$  es un anillo local, entonces  $\widehat{R}$  es  $F$ -finito.*

**Ejemplo 1** (Anillo de polinomios en  $n$  variables). *Consideremos  $R = K[x_1, \dots, x_n]$ . Entonces  $R^{1/p^e}$  es un  $R$ -módulo libre con base*

$$\{k^{1/p^e} x_1^{\alpha_1/p^e} \cdots x_n^{\alpha_n/p^e} \mid 0 \leq \alpha_i \leq p^e - 1\},$$

donde  $\{k^{1/p^e}\}$  es una base de  $K^{1/p^e}$  sobre  $K$ . Notemos que si  $\dim_K(K^{1/p^e}) = d$ , entonces el rango de  $R^{1/p^e}$  sobre  $R$  es  $dp^{ne}$ .

Finalizamos esta subsección recordando la definición de  $F$ -pureza.

**Definición 2.** *El anillo  $R$  es llamado  $F$ -puro si es  $F$ -finito y  $\varphi(1) = 1$  para algún  $\varphi \in \text{Hom}_R(R^{1/p}, R)$ .*

## 2.2. Umbral $F$ -puro.

En esta subsección nos enfocamos en trabajar con  $R$  un anillo  $F$ -finito y  $F$ -puro. El umbral  $F$ -puro de un ideal  $\mathfrak{a} \subseteq R$  fue introducido por Takagi y Watanabe [21]. En característica positiva, este es considerado como análogo al umbral log canónico, un invariante importante de singularidades de hipersuperficies en característica cero. En particular, si  $f$  es un polinomio con coeficientes en un campo, el umbral log canónico de  $f$  es el primer número de salto del ideal multiplicador de  $f$  con exponente  $c \in \mathbb{R}_{\geq 0}$ ,  $\mathcal{J}(f^c)$ . El estudio del umbral  $F$ -puro es motivado por el umbral log canónico, debido a que ambos tienen propiedades similares. En términos generales, el umbral  $F$ -puro mide el orden de escisión de  $\mathfrak{a}$ .

Antes de definir el umbral  $F$ -puro, primero introducimos un ideal que nos permite estudiar homomorfismos que no son escindes.

**Definición 3** ([1]). *Sea  $(R, \mathfrak{m}, K)$  un anillo local o una  $K$ -álgebra graduada estándar, la cual es  $F$ -finita y  $F$ -pura. Definimos*

$$I_e(R) = \{f \in R \mid \varphi(f^{1/p^e}) \in \mathfrak{m}, \text{ para todo } \varphi \in \text{Hom}_R(R^{1/p^e}, R)\},$$

donde  $e \in \mathbb{N}$ .

Observemos que el conjunto  $I_e(R)$  es un ideal de  $R$  y es llamado el  $e$ -ésimo ideal de escisión de  $R$ . Además, definimos el primo de escisión de  $R$  como  $\mathcal{P}(R) = \bigcap_{e \in \mathbb{N}} I_e(R)$  y la dimensión de escisión de  $R$  por  $\text{sdim}(R) = \dim(R/\mathcal{P}(R))$ .

Por otra parte, por la Definición 3 notemos que  $f \notin I_e(R)$  si y solo si  $\varphi(f^{1/p^e}) = 1$  para algún homomorfismo  $\varphi \in \text{Hom}_R(R^{1/p^e}, R)$ .

El ideal  $I_e(R)$  es usado para definir la  $F$ -signatura. Smith y Van den Bergh en su trabajo [20] mostraron la existencia de este invariante cuando el anillo  $R$  es fuertemente  $F$ -regular y tiene tipo de representación finita de Frobenius. Posteriormente, el trabajo de Huneke y Leuschke [14] mostró que este invariante existe si  $R$  es un dominio local completo y Gorenstein. Para anillos Gorenstein en el espectro perforado, su existencia fue dada por Yao [23]. Más tarde, Tucker [22] mostró la existencia de la  $F$ -signatura en el caso general.

Finalmente, veamos el Teorema de Tucker.

**Teorema 1** ([22, Teorema 4.9]). *Sea  $(R, \mathfrak{m}, K)$  un anillo local  $F$ -finito y  $F$ -puro de dimensión  $d$ . Entonces*

$$\lim_{e \rightarrow \infty} \frac{\lambda(R/I_e(R))}{p^{ed}}$$

existe, donde  $\lambda(-)$  denota la longitud de un  $R$ -módulo.

El teorema anterior motiva la siguiente definición.

**Definición 4.** *Supongamos que  $(R, \mathfrak{m}, K)$  es un anillo local  $F$ -finito y  $F$ -puro de dimensión  $d$ . La  $F$ -signatura de  $R$  es definida por*

$$s(R) = \lim_{e \rightarrow \infty} \frac{\lambda(R/I_e(R))}{p^{ed}},$$

donde  $\lambda(-)$  denota la longitud de un  $R$ -módulo.

Retomando el ideal de escisión, veamos la siguiente propiedad de  $I_e(R)$ .

**Proposición 1** ([1]). *Sea  $(R, \mathfrak{m}, K)$  un anillo local o una  $K$ -álgebra graduada estándar, la cual es  $F$ -finita y  $F$ -pura. Entonces las siguientes proposiciones son verdaderas:*

- (1) *Si  $r \notin I_e(R)$ , entonces  $r$  es un no divisor de cero.*
- (2)  *$\mathfrak{m}^{[p^e]} \subseteq I_e(R)$ . La igualdad se da si  $R$  es un anillo regular.*

Con la ayuda del ideal de escisión, podemos definir el umbral  $F$ -puro.

**Definición 5** ([5]). *Sea  $(R, \mathfrak{m}, K)$  un anillo local o una  $K$ -álgebra graduada estándar, la cual es  $F$ -finita y  $F$ -pura. Dado  $\mathfrak{a} \subseteq \mathfrak{m}$  un ideal en  $R$ , definimos*

$$b_{\mathfrak{a}}(p^e) = \max\{t \in \mathbb{N} \mid \mathfrak{a}^t \not\subseteq I_e(R)\}.$$

Definimos el umbral  $F$ -puro de  $\mathfrak{a}$  en  $R$  como

$$\text{fpt}(\mathfrak{a}) = \lim_{e \rightarrow \infty} \frac{b_{\mathfrak{a}}(p^e)}{p^e}.$$

Cuando  $\mathfrak{a} = \mathfrak{m}$ , el umbral  $F$ -puro  $\text{fpt}(\mathfrak{m})$  es denotado por  $\text{fpt}(R)$ .

Resaltamos el hecho no obvio de que el umbral  $F$ -puro es un número racional en el caso de ser  $R$  un anillo regular [4]. La racionalidad del umbral  $F$ -puro continúa siendo un problema abierto en el caso general. Notemos que el umbral  $F$ -puro es menor o igual a la dimensión de Krull de  $R$ . Más aún, el umbral  $F$ -puro de  $\mathfrak{m}$  y la dimensión de Krull de  $R$  coinciden, siempre que  $R$  sea un anillo regular.

### 3. ANILLO DE STANLEY-REINSER

En el anillo de polinomios  $S = K[x_1, \dots, x_n]$ , un monomio  $x_1^{\alpha_1} \cdots x_n^{\alpha_n}$  es llamado *libre de cuadrados* si los exponentes  $\alpha_1, \dots, \alpha_n$  toman valores de cero o uno. Decimos que un ideal monomial  $I$  de  $S$  es *monomial libre de cuadrados* si es generado por monomios libres de cuadrados. Como una consecuencia, el ideal  $I$  es un ideal radical y sus primos mínimos están generados por variables.

Un anillo formado por el cociente entre un anillo de polinomios sobre un campo y un ideal monomial libre de cuadrados es llamado *anillo de Stanley-Reinser*. Estos anillos tienen estructura combinatoria dada por complejos simpliciales. También tienen singularidades suaves; por ejemplo, son  $F$ -puros.

Ahora, establecemos la notación que seguimos a través de esta sección.

**Notación 2.** Denotamos  $S = K[x_1, \dots, x_n]$  con  $K$  un campo  $F$ -finito de característica prima  $p$ . Sea  $I$  un ideal monomial libre de cuadrados de  $S$ . Sea  $I = \bigcap_{i=1}^t \mathfrak{p}_i$  tal que  $\mathfrak{p}_i \not\subseteq \mathfrak{p}_j$  para  $i \neq j$  y  $\mathfrak{p}_1, \dots, \mathfrak{p}_t$  están generados por variables. Denotamos  $x^\alpha = x_1^{\alpha_1} \cdots x_n^{\alpha_n}$  para  $\alpha = (\alpha_1, \dots, \alpha_n) \in \mathbb{N}^n$ . Tomamos  $R = S/I$  y  $\mathfrak{m}$  su único ideal homogéneo máximo.

Consideremos  $\mathfrak{a} \subseteq R$  un ideal. Abusamos de la notación y denotamos la imagen inversa de  $\mathfrak{a} \subseteq R$  bajo la proyección natural  $S \rightarrow S/I$  por  $\mathfrak{a} \subseteq S$ .

La siguiente proposición nos permite calcular el anillo de las raíces  $p^e$ -ésimas de  $R$  en términos de ideales cocientes. Recordemos que  $R^{1/p^e} = S^{1/p^e}/I^{1/p^e}$ .

**Proposición 2** ([2, Proposición 2.2]). Sea  $e$  un entero no negativo. Entonces

$$R^{1/p^e} \cong \bigoplus_{\substack{1 \leq i \leq s \\ \alpha \in \mathcal{A}}} (S/J_\alpha)(a_i x^\alpha)^{1/p^e}$$

como  $R$ -módulos, con  $\mathcal{A} = \{\alpha \in \mathbb{N}^n \mid 0 \leq \alpha_i \leq p^e - 1 \text{ para } i = 1, \dots, n\}$ ,  $\mathcal{B} = \{a_i^{1/p^e} \mid i = 1, \dots, s\}$  es una base de  $K^{1/p^e}$  como  $K$ -espacio vectorial y  $J_\alpha = (I : x^\alpha)$ .

*Demostración.* Cada elemento  $r^{1/p^e} \in S^{1/p^e}$  puede ser escrito en forma única como

$$r^{1/p^e} = \bigoplus_{\substack{1 \leq i \leq s \\ \alpha \in \mathcal{A}}} r_{i,\alpha} (a_i x^\alpha)^{1/p^e},$$

donde  $r_{i,\alpha} \in S$ . Tomemos el morfismo

$$\varphi : S^{1/p^e} \longrightarrow \bigoplus_{\substack{1 \leq i \leq s \\ \alpha \in \mathcal{A}}} (S/J_\alpha)(a_i x^\alpha)^{1/p^e},$$

definido por

$$\varphi(r^{1/p^e}) = \bigoplus_{\substack{1 \leq i \leq s \\ \alpha \in \mathcal{A}}} (r_{i,\alpha} + J_\alpha)(a_i x^\alpha)^{1/p^e}.$$

Por la manera de definir a  $\varphi$ , notamos que  $\varphi$  es un homomorfismo sobreyectivo de  $S$ -módulos.

Para obtener lo deseado vamos a utilizar el primer teorema de isomorfismo. Entonces debemos probar que  $\ker \varphi = I^{1/p^e}$ . Con el fin de mostrar esta igualdad,



primero mostramos la inclusión  $\ker \varphi \subseteq I^{1/p^e}$ . Sea  $r^{1/p^e} \in \ker \varphi$ . Supongamos sin perder generalidad que  $r^{1/p^e} = x^\theta (a_i x^\alpha)^{1/p^e}$  para algunos  $\theta \in \mathbb{N}^n$ ,  $\alpha \in \mathcal{A}$  y  $0 \leq i \leq s$ . Se sigue que  $0 = \varphi(r^{1/p^e}) = (x^\theta + J_\alpha)(a_i x^\alpha)^{1/p^e}$ . Como una consecuencia,  $x^\theta \in J_\alpha$ . De esta manera,  $x^{\alpha+\theta} \in I$ . Por lo tanto  $r^{1/p^e} = x^\theta (a_i x^\alpha)^{1/p^e} = (a_i x^{p^e \theta + \alpha})^{1/p^e} \in I^{1/p^e}$ .

Para mostrar la otra inclusión es suficiente considerar  $r^{1/p^e} = x^\theta (a_i x^\alpha)^{1/p^e} x^{\beta/p^e} \in I^{1/p^e}$  con  $\theta \in \mathbb{N}^n$ ,  $\alpha \in \mathcal{A}$ ,  $0 \leq i \leq s$  y  $x^\beta$  un generador libre de cuadrados de  $I$ . Debido a que  $0 \leq \alpha_j \leq p^e - 1$  y  $0 \leq \beta_j \leq 1$  para todo  $1 \leq j \leq n$ , existe  $\gamma \in \{0, 1\}^n$  tal que  $\alpha' = \alpha + \beta - p^e \gamma \in \mathcal{A}$ . Notemos que  $a_i x^{\theta+\gamma+\alpha'} \in I$ , lo cual nos lleva a  $x^{\theta+\gamma} \in J_{\alpha'}$ . Además,  $r^{1/p^e} = x^{\theta+\gamma} (a_i x^{\alpha'})^{1/p^e}$ . Se sigue que  $r^{1/p^e} \in \ker \varphi$ , pues  $\varphi(r^{1/p^e}) = (x^{\theta+\gamma} + J_{\alpha'})(a_i x^{\alpha'})^{1/p^e} = 0$ .

De lo hecho anteriormente deducimos que

$$R^{1/p^e} \cong \bigoplus_{\substack{1 \leq i \leq s \\ \alpha \in \mathcal{A}}} (S/J_\alpha)(a_i x^\alpha)^{1/p^e}$$

como  $S$ -módulos. Por ende, ellos son isomorfos como  $R$ -módulos. □

En el trabajo de Badilla-Céspedes [2] se considera una forma general del umbral  $F$ -puro, llamado umbral de Cartier, y se prueba la racionalidad en varios casos para los anillos de Stanley-Reisner. Nuestro objetivo en este trabajo es calcular el umbral  $F$ -puro de  $\mathfrak{m}$  en un anillo de Stanley-Reisner (ver el Teorema A). Para ello comparamos este número con su correspondiente en  $R/\mathcal{P}(R)$ . Primero, necesitamos calcular el ideal de escisión y el primo de escisión de un anillo de Stanley-Reisner. Antes de calcular estos ideales necesitamos el siguiente lema.

**Lema 1** ([2, Lema 4.16]). *Sea  $e$  un entero no negativo. Entonces  $I_e(R)$  y  $\mathcal{P}(R)$  son ideales monomiales.*

*Demostración.* Notemos que  $R$  es  $\mathbb{N}^n$ -graduado y  $R^{1/p^e}$  es un  $R$ -módulo  $\frac{1}{p^e}\mathbb{N}^n$ -graduado. Como  $R \subseteq R^{1/p^e}$ , podemos ver a  $R$  como un  $R$ -módulo  $\frac{1}{p^e}\mathbb{N}^n$ -graduado. Mostrar que  $I_e(R)$  es un ideal monomial, es equivalente a probar que  $I_e(R)$  es un ideal homogéneo con la  $\mathbb{N}^n$  graduación. Sea  $r = r_{\alpha_1} + \dots + r_{\alpha_t} \in I_e(R)$ , con  $r_{\alpha_i} \in R$  de grado  $\alpha_i \in \mathbb{N}^n$ . Sea  $\varphi \in \text{Hom}_R(R^{1/p^e}, R)$ . Al ser  $R^{1/p^e}$  un  $R$ -módulo finitamente generado, todo homomorfismo  $R^{1/p^e} \rightarrow R$  es una suma finita de homomorfismos graduados. En tal caso podemos tomar  $\varphi$  homogéneo de grado  $\beta \in \frac{1}{p^e}\mathbb{N}^n$ . Evaluando  $\varphi$  en  $r^{1/p^e}$  tenemos que

$$\varphi(r^{1/p^e}) = \varphi(r_{\alpha_1}^{1/p^e}) + \dots + \varphi(r_{\alpha_t}^{1/p^e}) \in \mathfrak{m}$$

y cada  $\varphi(r_{\alpha_i}^{1/p^e})$  tiene grado  $\frac{1}{p^e}\alpha_i + \beta$ . Como  $\mathfrak{m}$  es un ideal homogéneo,  $\varphi(r_{\alpha_i}^{1/p^e}) \in \mathfrak{m}$ . Siendo así  $r_{\alpha_i} \in I_e(R)$  para todo  $i \in \{1, \dots, t\}$ . Por lo tanto,  $I_e(R)$  es un ideal homogéneo.

Finalmente, como la intersección de ideales monomiales es un ideal monomial,  $\mathcal{P}(R)$  es monomial.  $\square$

Badilla-Céspedes trabaja una forma general del ideal de escisión llamado la contracción de Cartier; con él introduce el núcleo de Cartier [2, Definición 4.12], el cual es una generalización del primo de escisión. Además, para ideales primos monomiales en anillos de Stanley-Reisner, el autor da una descripción de la contracción de Cartier a partir de la potencia de Frobenius y el núcleo de Cartier [2, Proposición 4.17], pero sin dar una descripción del núcleo de Cartier. La siguiente proposición nos da una fórmula explícitamente para el primo de escisión en virtud de los primos mínimos de  $R$ .

**Proposición 3.** *Sea  $e$  un entero no negativo. Las siguientes proposiciones son verdaderas:*

$$(1) I_e(R) = \mathfrak{m}^{[p^e]} + \sum_{i=1}^l \mathfrak{p}_i,$$

$$(2) \mathcal{P}(R) = \sum_{i=1}^l \mathfrak{p}_i.$$

*Demostración.* Afirmamos que  $\mathfrak{m}^{[p^e]} + \sum_{i=1}^l \mathfrak{p}_i \subseteq I_e(R)$ . En efecto,  $\sum_{i=1}^l \mathfrak{p}_i$  está contenida en la unión de los primos asociados de  $R$ , por ello cada elemento de dicha suma es un divisor de cero. Por la Proposición 1,  $\mathfrak{m}^{[p^e]} + \sum_{i=1}^l \mathfrak{p}_i \subseteq I_e(R)$ .

Ahora mostremos que  $I_e(R) \subseteq \mathfrak{m}^{[p^e]} + \sum_{i=1}^l \mathfrak{p}_i$ . Procedemos por contradicción. Sea  $s$  un generador de  $I_e(R)$ . Supongamos que  $s \notin \mathfrak{m}^{[p^e]} + \sum_{i=1}^l \mathfrak{p}_i$ . Por el Lema 1, podemos elegir a  $s$  como un monomio. De este modo,  $s = x^\alpha$  para algún  $\alpha \in \mathcal{A} = \{\alpha \in \mathbb{N}^n \mid 0 \leq \alpha_i \leq p^e - 1 \text{ para } i = 1, \dots, n\}$ , pues  $s \notin \mathfrak{m}^{[p^e]}$ .

Asimismo,  $x^\alpha$  no está contenido en ninguno de los primos asociados de  $R$ , porque  $s \notin \sum_{i=1}^l \mathfrak{p}_i$ . Esto implica que  $x^\alpha$  es un no divisor de cero. Así que el homomorfismo  $R \xrightarrow{x^\alpha} R$  es inyectivo, lo cual fuerza  $I = J_\alpha = (I : x^\alpha)$ . Pero entonces tenemos un homomorfismo  $\psi \in \text{Hom}_R((S/J_\alpha)^{1/p^e}, R)$  tal que  $\psi(x^\alpha/p^e) = 1$ .

Sea  $\mathcal{B} = \{a_i^{1/p^e} \mid i = 1, \dots, s\}$  una base de  $K^{1/p^e}$  como  $K$ -espacio vectorial. Sin perder generalidad podemos asumir que  $a_1 = 1$ . Adicionalmente, por la Proposición 2 hay una función  $R$ -lineal

$$\varphi : R^{1/p^e} \longrightarrow \bigoplus_{\substack{1 \leq i \leq s \\ \alpha \in \mathcal{A}}} (S/J_\alpha)(a_i x^\alpha)^{1/p^e}$$

dada por

$$\varphi(r^{1/p^e}) = \bigoplus_{\substack{1 \leq i \leq s \\ \alpha \in \mathcal{A}}} (r_{i,\alpha} + J_\alpha)(a_i x^\alpha)^{1/p^e},$$

donde

$$r^{1/p^e} = \bigoplus_{\substack{1 \leq i \leq s \\ \alpha \in \mathcal{A}}} r_{i,\alpha} (a_i x^\alpha)^{1/p^e}.$$

Fijando  $\phi = \psi \circ \pi_\alpha \circ \varphi$  produce  $\phi \in \text{Hom}_R(R^{1/p^e}, R)$  y  $\phi(s^{1/p^e}) = \phi(x^{\alpha/p^e}) = 1$ ; esto contradice el hecho de que  $s \in I_e(R)$ .

Para la segunda parte de la prueba es suficiente mostrar  $\mathcal{P}(R) \subseteq \sum_{i=1}^l \mathfrak{p}_i$ . Sea  $s$  un generador de  $\mathcal{P}(R)$ . Por el Lema 1 podemos elegir a  $s$  como un monomio. El teorema de intersección de Krull dice que  $\bigcap_{e \in \mathbb{N}} \mathfrak{m}^{[p^e]} = 0$ , por esta razón  $s \notin \mathfrak{m}^{[p^{e'}]}$  para algún  $e' \in \mathbb{N}$ . Por la primera parte,  $s \in \mathfrak{m}^{[p^{e'}]} + \sum_{i=1}^l \mathfrak{p}_i$ . De donde se sigue que  $s \in \sum_{i=1}^l \mathfrak{p}_i$ , debido a que ambos  $\mathfrak{m}^{[p^{e'}]}$  y  $\sum_{i=1}^l \mathfrak{p}_i$  son ideales monomiales.  $\square$

Finalmente, usamos la Proposición 3 para comparar los ideales de escisión de  $R$  y  $R/\mathcal{P}(R)$ , respectivamente, y calcular el umbral  $F$ -puro de  $\mathfrak{m}$  en términos de la dimensión de escisión de  $R$ .

**Teorema 2.** *Sea  $e$  un entero no negativo. Las siguientes proposiciones son verdaderas:*

- (1)  $I_e(R)/\mathcal{P}(R) = I_e(R/\mathcal{P}(R))$ ,
- (2)  $\text{fpt}(R) = \text{sdim}(R)$ .

*Demostración.* De la Proposición 3, tenemos que

$$\begin{aligned} I_e(R)/\mathcal{P}(R) &= \frac{\mathfrak{m}^{[p^e]} + \mathcal{P}(R)}{\mathcal{P}(R)} \\ &= \mathfrak{m}^{[p^e]} \frac{R}{\mathcal{P}(R)} \\ &= I_e(R/\mathcal{P}(R)), \end{aligned}$$

de donde la última igualdad se da por ser  $R/\mathcal{P}(R)$  un anillo de polinomios y el punto (2) de la Proposición 1.

Para la segunda parte de la prueba, usando la primera parte obtenemos las siguientes igualdades:

$$\begin{aligned} b_{\mathfrak{m}}(p^e) &= \text{máx}\{t \in \mathbb{N} \mid \mathfrak{m}^t \not\subseteq I_e(R)\} \\ &= \text{máx}\{t \in \mathbb{N} \mid \mathfrak{m}^t R/\mathcal{P}(R) \not\subseteq I_e(R/\mathcal{P}(R))\} \\ &= b_{\mathfrak{m}R/\mathcal{P}(R)}(p^e). \end{aligned}$$

De esta manera,  $\text{fpt}(R) = \text{fpt}(R/\mathcal{P}(R)) = \text{dim}(R/\mathcal{P}(R)) = \text{sdim}(R)$ , donde la penúltima igualdad se da por ser  $R/\mathcal{P}(R)$  un anillo de polinomios.  $\square$

**Observación 2.** Otra forma de demostrar la primera parte del Teorema 2 es usando el punto (1) de la Proposición 4.18 y el Lema 5.7 del trabajo de Badilla-Céspedes [2].

**Ejemplo 2.** Consideremos el anillo  $S = \mathbb{F}_p[x, y, z, u, v, w]$  y el ideal  $I = (xyw, xvw, zv, zw)$ . La descomposición de  $I$  como la intersección de sus primos mínimos es  $I = (y, z, v) \cap (x, z) \cap (z, w) \cap (v, w)$ . Tomemos  $R = S/I$ . El punto (2) de la Proposición 3 da que  $\mathcal{P}(R)$  está generado por las variables  $x, y, z, v, w$ , por lo que  $R/\mathcal{P}(R) = \mathbb{F}_p[u]$ . Por lo tanto,  $\text{fpt}(R) = \text{sdim}(R) = \dim(\mathbb{F}_p[u]) = 1$  por el Teorema 2.

#### 4. AGRADECIMIENTOS

El autor agradece a Luis Núñez-Betancourt por sus útiles comentarios y sugerencias. También agradece al árbitro anónimo por sus útiles comentarios. El autor hizo este trabajo durante una estancia posdoctoral realizada gracias al Programa de Becas Posdoctorales en la UNAM (POSDOC).

#### 5. FINANCIAMIENTO

El autor fue parcialmente financiado por SNII, México.

#### REFERENCIAS

- [1] I. M. Aberbach y F. Enescu, *The structure of  $F$ -pure rings*. Math. Z. **250**(2005), no. 4, 791-806. DOI: [10.1007/s00209-005-0776-y](https://doi.org/10.1007/s00209-005-0776-y)
- [2] W. Badilla-Céspedes,  *$F$ -invariants of Stanley-Reisner rings*. J. Pure Appl. Algebra **225**(2021), no. 9, Paper No. 106671, 19. DOI: [10.1016/j.jpaa.2021.106671](https://doi.org/10.1016/j.jpaa.2021.106671)
- [3] A. Benito, E. Faber y K. E. Smith, *Measuring singularities with Frobenius: the basics*. Commutative algebra. Springer, New York, 2013, 57-97. DOI: [10.1007/978-1-4614-5292-8\\_3](https://doi.org/10.1007/978-1-4614-5292-8_3)
- [4] M. Blickle, M. Mustață y K. E. Smith, *Discreteness and rationality of  $F$ -thresholds*. Michigan Math. J. **57**(2008). Special volume in honor of Melvin Hochster, 43-61. DOI: [10.1307/mmj/1220879396](https://doi.org/10.1307/mmj/1220879396)
- [5] A. De Stefani y L. Núñez-Betancourt,  *$F$ -thresholds of graded rings*. Nagoya Math. J. **229**(2018), 141-168. DOI: [10.1017/nmj.2016.65](https://doi.org/10.1017/nmj.2016.65)
- [6] M. González Villa, D. Jaramillo-Velez y L. Núñez-Betancourt,  *$F$ -thresholds and test ideals of Thom-Sebastiani type polynomials*. Proc. Amer. Math. Soc. **150**(2022), no. 9, 3739-3755. DOI: [10.1090/proc/16025](https://doi.org/10.1090/proc/16025)
- [7] N. Hara y K.-I. Yoshida, *A generalization of tight closure and multiplier ideals*. Trans. Amer. Math. Soc. **355**(2003), no. 8, 3143-3174. DOI: [10.1090/S0002-9947-03-03285-9](https://doi.org/10.1090/S0002-9947-03-03285-9)

- [8] D. J. Hernández, *F-pure thresholds of binomial hypersurfaces*. Proc. Amer. Math. Soc. **142**(2014), no. 7, 2227-2242. DOI: [10.1090/S0002-9939-2014-11941-1](https://doi.org/10.1090/S0002-9939-2014-11941-1)
- [9] D. J. Hernández, *F-purity versus log canonicity for polynomials*. Nagoya Math. J. **224**(2016), no. 1, 10-36. DOI: [10.1017/nmj.2016.14](https://doi.org/10.1017/nmj.2016.14)
- [10] D. J. Hernández, K. Schwede, P. Teixeira y E. E. Witt, *The Frobenius Thresholds package for Macaulay2*. J. Softw. Algebra Geom. **11**(2021), no. 1, 25-39. DOI: [10.2140/jsag.2021.11.25](https://doi.org/10.2140/jsag.2021.11.25)
- [11] M. Hochster y C. Huneke, *Tight closure, invariant theory, and the Briançon-Skoda theorem*. J. Amer. Math. Soc. **3**(1990), no. 1, 31-116. DOI: [10.2307/1990984](https://doi.org/10.2307/1990984)
- [12] M. Hochster y J. L. Roberts, *The purity of the Frobenius and local cohomology*. Advances in Math. **21**(1976), no. 2, 117-172. DOI: [10.1016/0001-8708\(76\)90073-6](https://doi.org/10.1016/0001-8708(76)90073-6)
- [13] C. Huneke, *Tight closure and its applications*. Vol. 88. Regional Conference Series in Mathematics. Conference Board of the Mathematical Sciences, 1996.
- [14] C. Huneke y G. J. Leuschke, *Two theorems about maximal Cohen-Macaulay modules*. Math. Ann. **324**(2002), no. 2, 391-404. DOI: [10.1007/s00208-002-0343-3](https://doi.org/10.1007/s00208-002-0343-3)
- [15] Z. Kadyrsizova et al., *Lower bounds on the F-pure threshold and extremal singularities*. Trans. Amer. Math. Soc. Ser. B **9**(2022), 977-1005. DOI: [10.1090/btran/106](https://doi.org/10.1090/btran/106)
- [16] E. Kunz, *Characterizations of regular local rings for characteristic p*. Amer. J. Math. **91**(1969), 772-784. DOI: [10.2307/2373351](https://doi.org/10.2307/2373351)
- [17] S. Müller, *The F-pure threshold of quasi-homogeneous polynomials*. J. Pure Appl. Algebra **222**(2018), no. 1, 75-96. DOI: [10.1016/j.jpaa.2017.03.005](https://doi.org/10.1016/j.jpaa.2017.03.005)
- [18] M. Mustață, S. Takagi y K.-i. Watanabe, *F-thresholds and Bernstein-Sato polynomials*. European Congress of Mathematics. Eur. Math. Soc., Zürich, 2005, 341-364. DOI: [10.48550/arXiv.math/0411170](https://doi.org/10.48550/arXiv.math/0411170)
- [19] T. Shibuta y S. Takagi, *Log canonical thresholds of binomial ideals*. Manuscripta Math. **130**(2009), no. 1, 45-61. DOI: [10.1007/s00229-009-0270-7](https://doi.org/10.1007/s00229-009-0270-7)
- [20] K. E. Smith y M. Van den Bergh, *Simplicity of rings of differential operators in prime characteristic*. Proc. London Math. Soc. (3) **75**(1997), no. 1, 32-62. DOI: [10.1112/S0024611597000257](https://doi.org/10.1112/S0024611597000257)
- [21] S. Takagi y K.-i. Watanabe, *On F-pure thresholds*. J. Algebra **282**(2004), no. 1, 278-297. DOI: [10.1016/j.jalgebra.2004.07.011](https://doi.org/10.1016/j.jalgebra.2004.07.011)
- [22] K. Tucker, *F-signature exists*. Invent. Math. **190**(2012), no. 3, 743-765. DOI: [10.1007/s00222-012-0389-0](https://doi.org/10.1007/s00222-012-0389-0)
- [23] Y. Yao, *Observations on the F-signature of local rings of characteristic p*. J. Algebra **299**(2006), no. 1, 198-218. DOI: [10.1016/j.jalgebra.2005.08.013](https://doi.org/10.1016/j.jalgebra.2005.08.013)